



법이다. 이 방법은 단순 시계열자료를 위상공간으로 재구성하는 방법으로써  $m$ 차원의 위상공간은 다음 식으로 정의될 수 있다.

$$Y_t = \{x_t, x_{t-\tau}, x_{t-2\tau}, \dots, x_{t-(m-1)\tau}\} \quad (1)$$

여기서,  $Y_t$ 는 횡방향의 자료배열,  $x_t$ 는 각각의 시계열자료,  $\tau$ 는 지체시간,  $m$ 은 공간구성차원이다.

## 2.2 Correlation Integral

Correlation Integral은 위상공간상에서 케적 위의 임의의 점을 중심으로 반지름  $r$ 의 구를 만들어 그 구속에 포함되는 점의 갯수를 표준화시킨 값이며, 이는 다음과 같은 식으로 나타낼 수 있다.

$$C(r) = \frac{1}{N^2} \sum_{i=1}^N \sum_{j=1}^N H(r - \|Y_i - Y_j\|), \quad i \neq j \quad (2)$$

여기서,  $H$ 는 Heaviside Step Function,  $N$ 은 위상공간상의 모든 점들의 갯수,  $\|Y_i - Y_j\|$ 는 Norm을 나타낸다.

## 2.3 Lyapunov Exponent

시계열자료의 Chaotic 특성을 나타내는 또다른 기준으로 Lyapunov Exponent가 있다. Wolf 등(1985)에 의해 시계열자료에서 Lyapunov Exponent의 계산 방법이 제안되었으며, 다음과 같은 식으로 구할 수 있다.

$$\lambda = \frac{1}{N \Delta t} \sum_{j=1}^M \log_2 L' \frac{L'(t_j)}{L(t_{j-1})} \quad (3)$$

여기서,  $\Delta t$ 는 두 개의 연속되는 관측치 사이의 시간간격,  $N$ 은  $Y_t$ 에서의 점의 총수,  $M$ 은 Replacement Step의 수,  $L(t_{j-1})$ 은 Euclidean 거리,  $L'(t_j)$ 는 시간  $t_j$ 에서  $L(t_{j-1})$ 의 길이이다.

## 3. 적용 및 분석

### 3.1 대상유역 및 분석자료

본 연구의 대상유역으로는 IHP대표유역 중의 하나인 낙동강수계 위천유역을 선정하였다. 본 연구를 위한 강우량 자료는 위천유역의 균위지점을, 유출량 자료는 무성지점을 선정하여 1982년부터 2002년까지의 IHP 보고서로부터 일강우량과 일유출량 자료를 수집하여 분석에 이용하였다.

### 3.2 Correlation Integral

#### 1) 일강우량 자료

본 연구를 위하여 위천유역의 군위지점에서 1982년부터 2002년까지 측정된 일강우량 자료를 이용하였다.  $\tau$ 에 의해 지체된 각각의 위상공간에서 Correlation Integral과 Fractal 차원을 구하였으며, Fig. 1은 Correlation Integral에 의하여 계산된 Fractal 차원을 위상공간 차원에 따라 표현한 값이다.

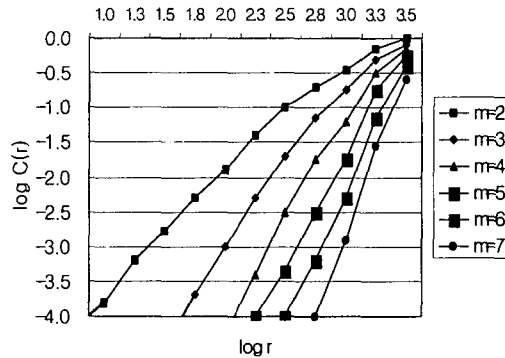


Fig. 1. Correlation Integral for Phase Space.

#### 2) 일유출량 자료

본 연구를 위하여 위천유역의 무성지점에서 1982년부터 2002년까지 측정된 일유출량 자료를 이용하였다. Fig. 2는 Correlation Integral에 의하여 계산된 Fractal 차원을 위상공간 차원에 따라 표현한 값이다.

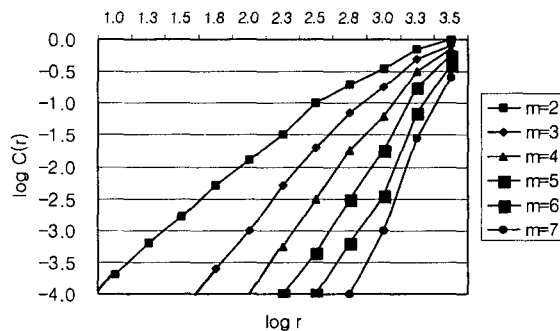


Fig. 2. Correlation Integral for Phase Space.

### 3.3 Lyapunov Exponent

#### 1) 일강우량 자료

본 연구를 위하여 위천유역의 군위지점에서 1982년부터 2002년까지 측정된 일강우량 자료를 이용하였다. Lyapunov Exponent의 계산을 위하여 Wolf 알고리즘을 사용하였으며, 각각의 위상공간에 따른 값은 다음 Table 1과 같았다.

Table 1. Estimated Lyapunov Exponents( $\times 10^{-2}$ ) for Rainfall Data

$\lambda$	Embedding Dimension						Mean
	2	3	4	5	6	7	
KUNWI	0.85	1.36	1.58	1.57	1.62	1.90	1.48

2) 일유출량 자료

본 연구를 위하여 위천유역의 무성지점에서 1982년부터 2002년까지 측정 한 일유출량 자료를 이용하였다. Lyapunov Exponent의 계산을 위하여 Wolf 알고리즘을 사용하였으며, 각각의 위상공간에 따른 값은 다음 Table 2와 같았다.

Table 2. Estimated Lyapunov Exponents( $\times 10^{-2}$ ) for Stream Flow Data

$\lambda$	Embedding Dimension						Mean
	2	3	4	5	6	7	
MUSEUNG	1.26	0.95	0.79	1.12	1.25	1.38	1.13

4. 결 론

본 논문에서는 하천유역 일강우 및 유출자료의 Chaotic 특성을 규명하고자 하였으며, 그 과정에서 다음과 같은 결론을 얻었다.

- 1) 자료의 분석을 위한 위상공간 구성을 위해 2에서 7차원의 위상공간이 이용되었다.
- 2) 강우량 및 유출량 자료를 위상공간에 나타내기 위해 Time Delay Embedding 방법을 사용하였다.
- 3) 본 연구를 위하여 선택한 대상지점의 일강우량 및 유출량 자료의 Chaotic 특성의 기준으로 Correlation Integral 및 Lyapunov Exponent를 산정하였으며, 그 결과 Chaotic 요소가 존재하는 것으로 판단되었다.

참 고 문 헌

이제수, 1994, 물수지 방정식의 카오스적 분석, 한국수문학회지, pp. 115-121.  
 선우중호, 이두환, 1994, 카오스 이론을 이용한 시계열 자료의 분석 및 예측, '94년 대한토목 학회 논문집(II), pp. 225-228.  
 유병찬, 안경수, 최계운, 1995, Chaos에 의한 강우자료의 Fractal Dimension 결정, '95년 한국수자원학회 학술발표회 논문집, pp. 349-354.  
 Rodriguez-Iturbe, I., de Power, B.F., Sharifi, M., and Georgakakos, K.P., 1989, Chaotic rainfall, WRR, Vol.25, No.7, pp. 1667-1675.  
 Wilcox, B.P., Seyfried, M.S., and Matison, T.H., 1991, Searching for chaotic dynamics in snowmelt runoff, WRR, Vol.27, No.6, pp. 1005-1010.